

# Turbillons

## Champ de vorticité

### Plan

- I Les équations du champ de Vorticité
- II Champs de vorticité concentrés
- III Exemples - Exercices
- IV Mouvement - Instationnarité

### Biblio:

J. Bousquet Méthode des singularités  
(chapitre 2)

Batchelor Introduction to fluid mechanics

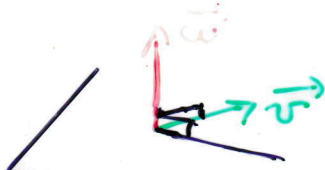
### I Les équations du champ de Vorticité:

Def.  $\vec{\omega} = \text{rot } \vec{v}$   $\Rightarrow \text{div } \vec{\omega} = 0$

En 3D:  $\frac{\partial \vec{\omega}}{\partial t} + \text{Rdt}(\vec{\omega} \wedge \vec{v}) = \nu \Delta \vec{\omega}$

$$\Leftrightarrow \frac{d\vec{\omega}}{dt} = \frac{\partial \vec{\omega}}{\partial t} + \vec{v} \cdot \text{grad } \vec{\omega} = \nu \Delta \vec{\omega} + \vec{\omega} \cdot \text{grad } \vec{v}$$

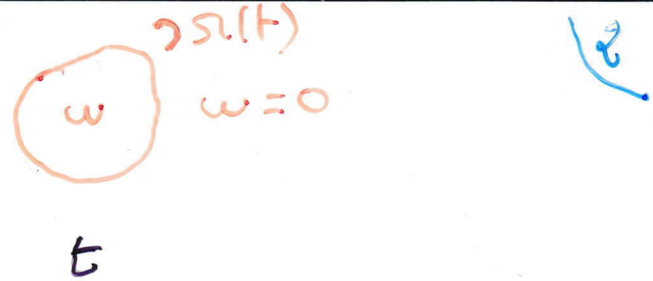
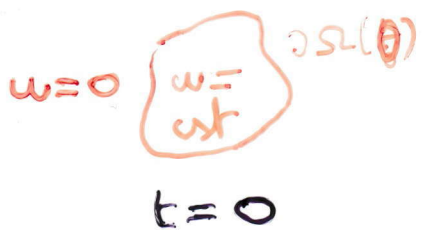
En 2D



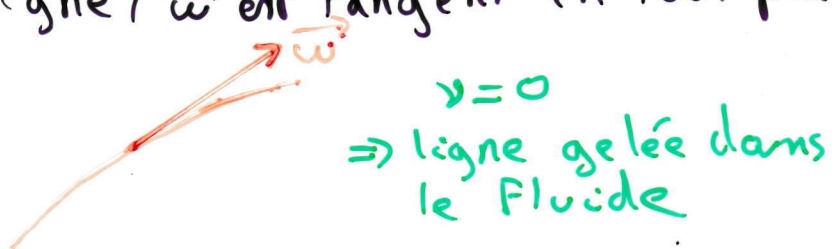
$$\vec{\omega} \cdot \text{grad } \vec{v} = 0$$

$$\frac{d\vec{\omega}}{dt} = \nu \Delta \vec{\omega}$$

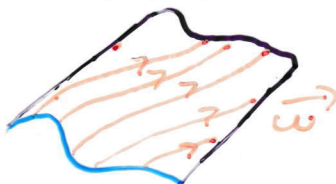
$\nu = 0 \Rightarrow \vec{\omega}$  se déplace mais garde la même intensité



ligne tourbillon: ligne /  $\vec{\omega}$  est tangent en tout point



Surface tourbillon: surface engendrée par les lignes tourbillons s'appuyant sur une courbe donnée.



tube tourbillon: surface tourbillon s'appuyant sur une courbe fermée.



$$r = \oint_{\Gamma} \vec{n} \cdot d\vec{l} = \iint \vec{\omega} \cdot d\vec{s}$$

$r = \text{cst}$  le long du tube.

$$v=0 \Rightarrow \frac{d\Gamma}{dt} = 0 \text{ (Kelvin).}$$

Remarque :

- . écoulement irrotationnel
- . domaine de vorticité faible.

## Notion de vitesse induite:

- $\operatorname{div} \vec{v} = 0$
- $\operatorname{rot} \vec{v} = \vec{\omega}$

$$\Leftrightarrow \vec{v}(x) = \text{grad } q + \vec{v}_{\text{induit}}$$

avec  $\vec{v}_{\text{induit}}(x) = \frac{1}{4\pi} \int_{\Omega} \frac{\vec{\omega}(\xi) \wedge (x - \xi)}{|x - \xi|^3} d\xi$

- $\operatorname{div} \vec{v} = \beta$
- $\operatorname{rot} \vec{v} = 0$

$$\Leftrightarrow \vec{v}_{\text{induit}}(x) = \frac{1}{4\pi} \int_{\Omega} \beta(\xi) \frac{(x - \xi)}{|x - \xi|^3} d\xi$$

Remarque:  $\iint_D \operatorname{div} \vec{v} d\xi = \iint_D \vec{v} \cdot \vec{n} ds = \text{débit}$

## II Champs de vorticité concentrés:

### 1) Rappels sur les distributions:

#### 1.1 Définition

\* Champ scalaire

$\mathcal{D} = \{\varphi / \infty \text{ dérivable de } \mathbb{R}^n \rightarrow \mathbb{R}$   
et à support compact}

$T = \text{forme linéaire continue sur } \mathcal{D}$ . (4)

$$T: \mathcal{D} \rightarrow \mathbb{R}$$
$$\varphi \mapsto \langle T, \varphi \rangle$$

Distribution  $T_f$  associée à une fonction  $f$ :

$$\langle T_f, \varphi \rangle = \iiint f \varphi \, dx$$

\* Champ vectoriel:

$\mathcal{D}$ : parall

$\vec{T} = \text{forme linéaire continue de } \mathcal{D} \text{ sur } \mathbb{R}^n$

$$\vec{T}: \mathcal{D} \rightarrow \mathbb{R}^n$$
$$\varphi \mapsto \langle \vec{T}, \varphi \rangle$$

Distribution  $\vec{T}_f$  associée à une fonction  $\vec{f}$ :

$$\langle \vec{T}_f, \varphi \rangle = \iiint \vec{f} \cdot \vec{\varphi} \, dx$$

\* Intérêt:

$$\lim_{i \rightarrow \infty} T_{f_i} = T \quad \epsilon = \frac{1}{i}$$

$T$  n'est pas une fonction

$T$  est le premier ordre d'un développement en  $\epsilon$

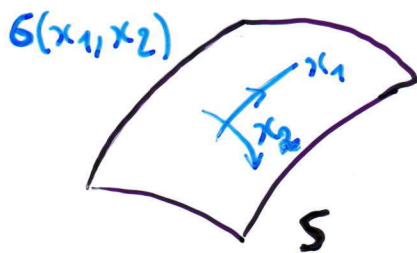
$\langle T, \varphi \rangle = \text{action de } T \text{ sur } \varphi \quad \hookrightarrow \text{modèle simple}$

Cette action est définie.

## 2) Champs scalaires concentrés:

$\mathbb{R}^3$

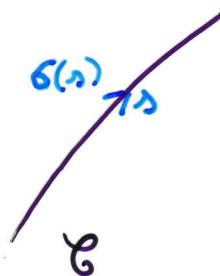
non concentré :  $\sigma(\tilde{x})$  champ volumique



Distribution surfacique

$\delta_S$

$$\langle \delta_S, \varphi \rangle = \iint_S \varphi(x_1, x_2) dS$$



linéaire

$\delta_\varrho$

$$\langle \delta_\varrho, \varphi \rangle = \int_C \varphi(\varrho) d\varrho$$

$\delta$   
•  $x$

ponctuelle

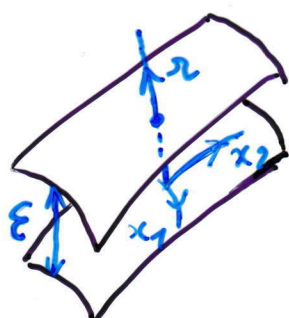
$\delta_{\tilde{x}}$

$$\langle \delta_{\tilde{x}}, \varphi \rangle = \delta \varphi / \tilde{x}$$

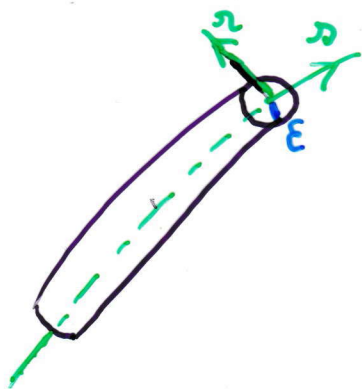
Remarque : action d'un champ volumique  $\sigma(\tilde{x})$

$$\langle T\sigma(\tilde{x}), \varphi \rangle = \iiint \sigma(\tilde{x}) \varphi d\tilde{x}$$

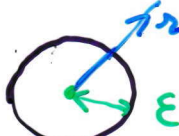
Les champs concentrés  $\delta_S$ ,  $\delta_\varrho$  et  $\delta_{\tilde{x}}$  sont les limites d'une suite de champs volumiques. f.i.  $\varepsilon = \frac{1}{n}$



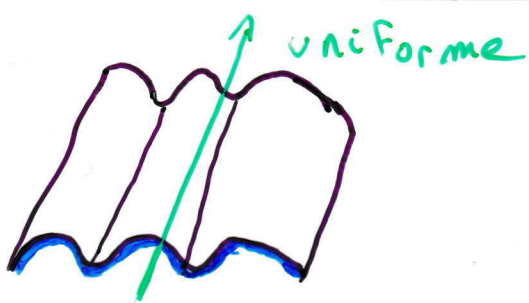
$$f_i = \frac{1}{\varepsilon} \text{ si } r \in [0, \varepsilon] \\ = 0 \text{ sinon}$$



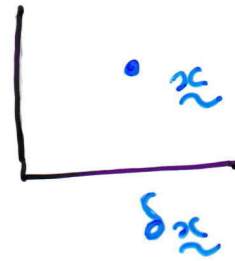
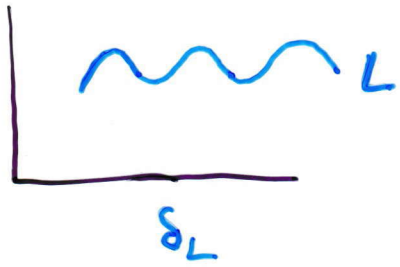
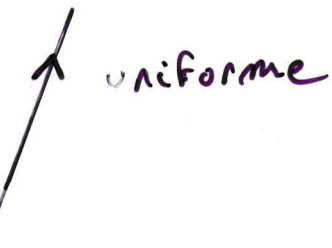
$$f_i = \frac{1}{\pi \varepsilon^2} \text{ si } r \in [0, \varepsilon] \\ = 0 \text{ sinon}$$



$$f_i = \frac{1}{4 \pi \varepsilon^3} \text{ si } r \in [0, \varepsilon] \\ = 0 \text{ sinon}$$



$\Downarrow 2D$



### Exemples :

- densité de charge électrique:

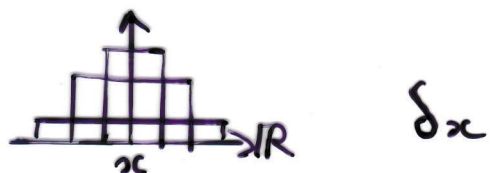
charge surfacique, linéique, électrique

- débit volumique:

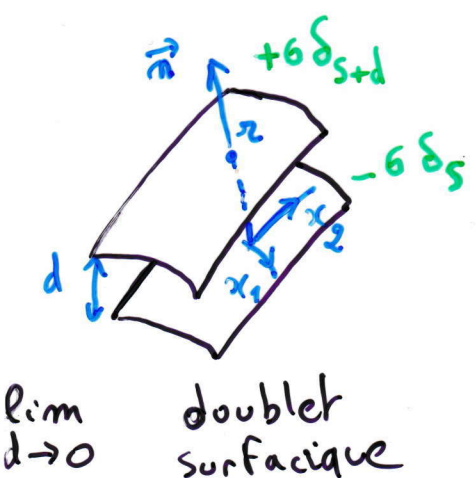
source surfacique, linéique, ponctuelle



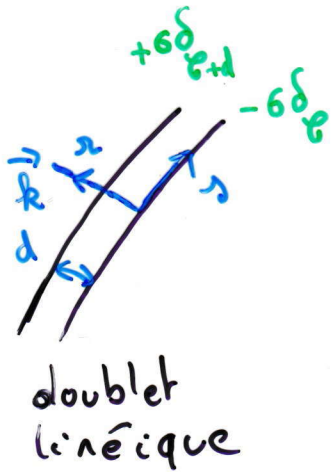
### Distribution de R:



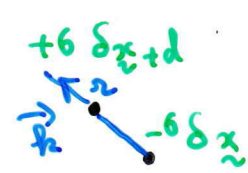
### Dérivées de distribution concentrée :



$\lim_{d \rightarrow 0}$  doublet surfacique



doublet linéique



doublet ponctuel

$$\sigma d = K$$

$$-K \frac{\partial \delta_s}{\partial \vec{r}}$$

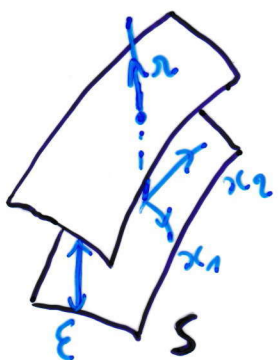
$$-K \frac{\partial \delta_l}{\partial \vec{r}}$$

$$-K \frac{\partial \delta_x}{\partial \vec{r}}$$

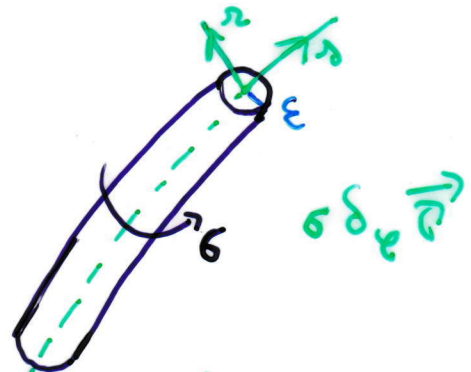
### 3) Champ vectoriel concentré: vorticité.

$$\varepsilon = \frac{1}{c}$$

(7)



$$\delta \xi \vec{v}$$



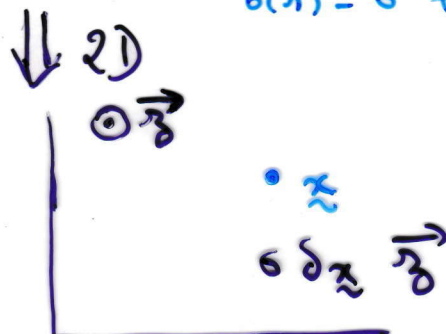
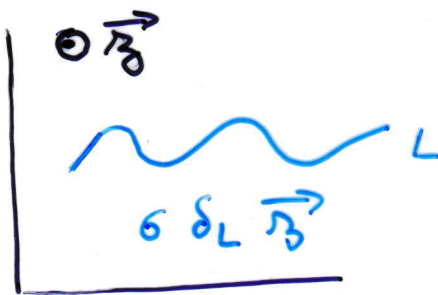
$$\vec{f}_c = \frac{\delta \vec{v}}{\pi \varepsilon^2} \text{ si } r \in [0, \varepsilon]$$

$$= 0 \quad \text{sinon}$$

$$= 0 \quad \text{sinon}$$

nappe de vorticité

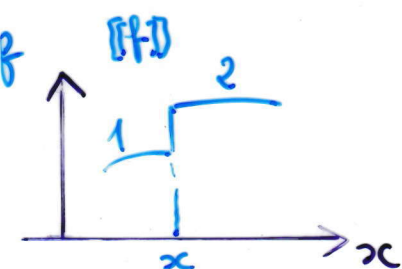
$\delta$  = circulation  
 $\delta(r) = \delta + \text{Kelvin}$



point tourbillon.

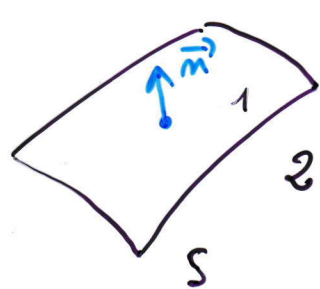
### 4) Discontinuités

\* Dans R:



$$\frac{dT_f}{dx} = T \frac{df}{dx} + (f_f - f_i) S_x$$

\* Dans  $\mathbb{R}^3$ :



$$[\vec{f}] = \vec{f}_1 - \vec{f}_2$$

$$\operatorname{div} T\vec{f} = T_{\operatorname{div}\vec{f}} + [\vec{f}] \cdot \vec{m} \delta_S$$

$$\operatorname{rot} T\vec{f} = T_{\operatorname{rot}\vec{f}} + \vec{m} \wedge [\vec{f}] \delta_S$$

Exemple: champ de vitesse



$$[\vec{v}] = \vec{v}_1 - \vec{v}_2 = \lambda \vec{m} + \vec{c}$$

$$\operatorname{div} \vec{v} = \lambda \delta_S$$

$$\operatorname{rot} \vec{v} = (\vec{c} \wedge \vec{m}) \delta_S$$

## 5) Solutions élémentaires:

$$\begin{cases} \Delta \varphi = \delta_0 \\ \operatorname{grad} \varphi \rightarrow 0 \end{cases} \Leftrightarrow \begin{cases} \varphi = -\frac{1}{4\pi r} \text{ dans } \mathbb{R}^3 \\ \varphi = \frac{1}{2\pi} \log r \text{ dans } \mathbb{R}^2 \end{cases}$$

$$\text{Or } \begin{aligned} & \operatorname{div} \vec{v} = 0 \\ & \operatorname{rot} \vec{v} = \vec{\omega} \end{aligned} \Rightarrow \vec{v} = \operatorname{rot} \vec{A} \Rightarrow \Delta \vec{A} = \vec{\omega}$$

$$A = \vec{\omega} \times \Psi \Rightarrow \Delta \Psi = \delta \Rightarrow \text{Biot}$$

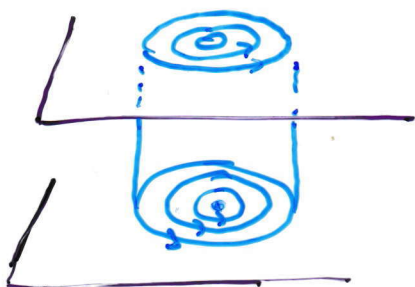
$$\begin{aligned} & \operatorname{div} \vec{v} = \beta \\ & \operatorname{rot} \vec{v} = 0 \end{aligned} \Rightarrow \vec{v} = \operatorname{grad} \varphi \Rightarrow \Delta \varphi = \beta \Rightarrow \varphi = \beta * \Psi$$

$$\Delta \Psi = \delta$$

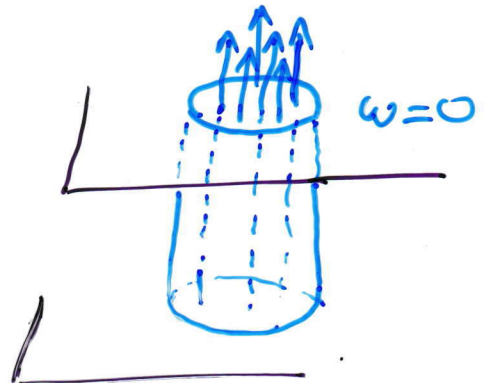
### III Exercices sur les champs induits:

(9)

1) Tornade :  $\omega \Rightarrow v$

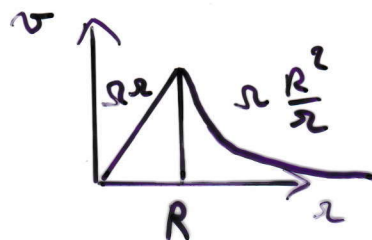


Lignes de courant

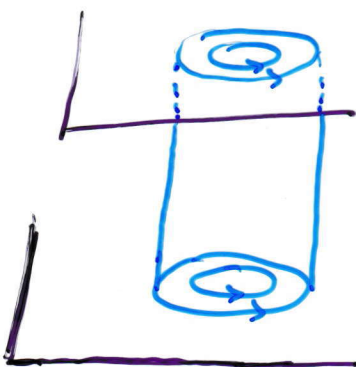


Lignes de vorticité

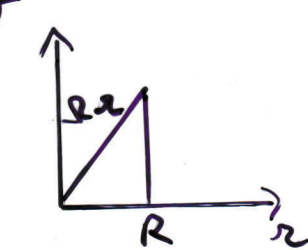
Stokes  
ou BSS 2D  $\Rightarrow$



2) Colonne en rotation :  $v \Rightarrow \omega$



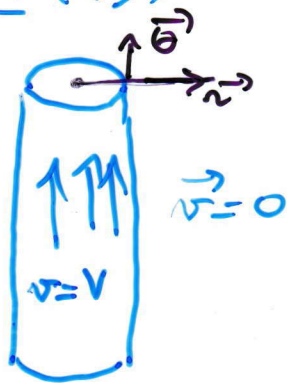
$$[[\vec{v}]] = (0 - \omega R) \vec{\theta}$$



$$\kappa = -\omega R$$

$$\vec{\omega} = \kappa \delta_S \vec{z} + \text{vorticité cst}$$

(10)

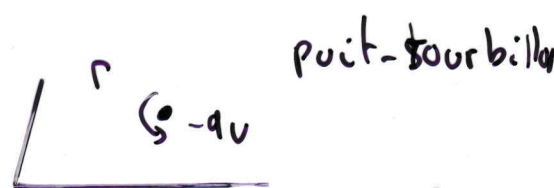
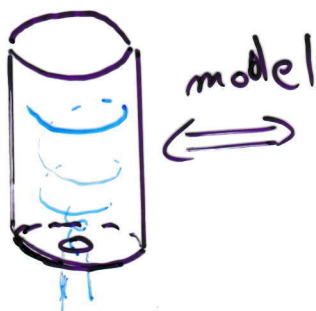
3) jet: (3D)

$$\llbracket \vec{v} \rrbracket = -V \vec{z}$$

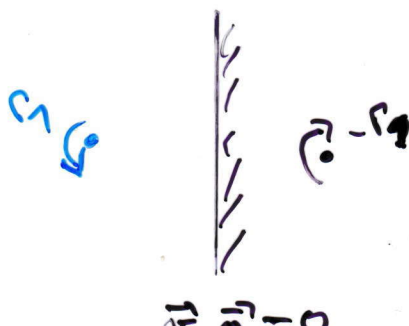
$$K = V$$

$$\vec{\omega} = K \delta_s \vec{\theta}$$

vitesse

4) Vidange5) 2 tourbillons:

$$r_1 \quad r_2$$

linéaire  $\Rightarrow$  superposition.6) Théo des images:

## IV Instationnarité - Mouvement:

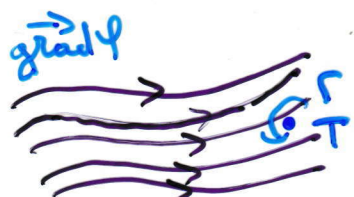
(11)

$$\begin{matrix} CI \\ CL \end{matrix} \Rightarrow \vec{\omega}(t) \\ \beta(t)$$

Utilisation des équations dynamiques.

En 2D et  $y=0$ : lignes tourbillons sont gelées.

### 1) Tourbillon dans un écoulement:



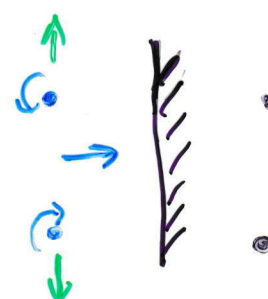
$$\vec{v}(x) = \vec{\text{grad}} \phi + \vec{v}_{\text{induct}}$$

$$\text{vorticité gelée} \Rightarrow \vec{\omega}(T) = \vec{\text{grad}} \phi(T)$$

Remarque:  $\vec{v}_{\text{induct}}(T) = \vec{\omega} = \frac{1}{2\pi r} \vec{\theta}$   
moyenne nulle.

### 2) Deux points tourbillons:

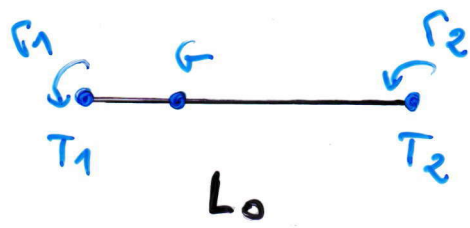
$$L \uparrow \quad \text{C}_r^r \rightarrow \vec{v} = \frac{r}{2\pi L} \vec{\theta}$$



cuisse

génération vorticité: mouvement | paroi  
| surface libre .

(18)



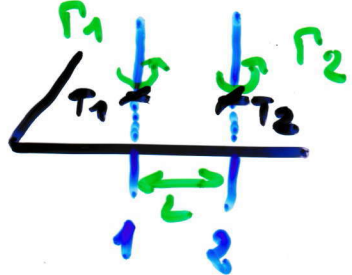
$$F_1 \overrightarrow{GT_1} + F_2 \overrightarrow{GT_2} = 0$$

G immobile

$$L_0 = \text{const}$$

$$\text{rotation } \Sigma = \frac{F_1 + F_2}{2\pi L_0^2}$$

## Exemple: les deux felets tourbillons

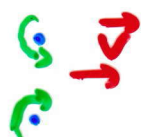


$G$ : centre de vorticité:

$$\Gamma_1 \vec{GT}_1 + \Gamma_2 \vec{GT}_2 = \vec{0}$$

$G$  est invariant.

- Si  $\Gamma_1 + \Gamma_2 \neq 0$ :



Il y a translation à la vitesse  $V = \frac{\Gamma_1}{2\pi L}$ .

- Si  $\Gamma_1 + \Gamma_2 = 0$ :



Il y a rotation autour de  $G$  à la vitesse

$$\omega = \frac{\Gamma_1 + \Gamma_2}{2\pi L}.$$

Résolution:  $T_1(x_1, y_1)$   $T_2(x_2, y_2)$

Tourbillon  $\rightarrow \Psi = -\frac{\Gamma}{2\pi} \log(r)$

$$\text{D'où: } \Psi_1(x, y) = -\frac{1}{4\pi} \Gamma_2 \log[(x-x_2)^2 + (y-y_2)^2]$$

$$\Psi_2(x, y) = -\frac{1}{4\pi} \Gamma_1 \log[(x-x_1)^2 + (y-y_1)^2]$$

$$\begin{cases} \frac{dx_1}{dt} = \frac{\partial \Psi_1}{\partial y} \\ \frac{dy_1}{dt} = -\frac{\partial \Psi_1}{\partial x} \end{cases}$$

$$\begin{cases} \frac{dx_2}{dt} = \frac{\partial \Psi_2}{\partial y} \\ \frac{dy_2}{dt} = -\frac{\partial \Psi_2}{\partial x} \end{cases}$$

$$\text{Soit } r^2 = (x_1 - x_2)^2 + (y_1 - y_2)^2 = L^2$$

$$\frac{d\vec{r}^2}{dt} = \left( \frac{dx_1}{dt} - \frac{dx_2}{dt} \right) (x_1 - x_2) + \left( \frac{dy_1}{dt} - \frac{dy_2}{dt} \right) (y_1 - y_2)$$

$$\text{Or : } \frac{dx_1}{dt} = -\frac{1}{4\pi} \frac{P_2}{L^2} 2(y_1 - y_2) \quad \frac{dy_1}{dt} = \frac{1}{4\pi} P_2 2(x_1 - x_2)$$

$$\frac{dx_2}{dt} = -\frac{1}{4\pi} \frac{P_1}{L^2} 2(y_1 - y_2) \quad \frac{dy_2}{dt} = \frac{1}{4\pi} P_1 2(x_1 - x_2)$$

On a donc  $\frac{d\vec{r}^2}{dt} = 0$  d'où  $r = L$  c'est.

Si  $P_1 + P_2 = 0$ : on constate que :

$$\frac{dx_1}{dt} = \frac{dx_2}{dt} \text{ et } \frac{dy_1}{dt} = \frac{dy_2}{dt}.$$

il y a translation à une vitesse  $\vec{v}$

Or l'expression de la vitesse complexe induit par un tourbillon ponctuel est

$$u - i v = -\frac{i P}{2\pi r}, \text{ d'où } \vec{v} = \frac{\vec{P}}{2\pi L}$$

Si  $P_1 + P_2 \neq 0$ :

$$\text{Génerifie } P_1 \vec{GT}_1 + P_2 \vec{GT}_2 = \vec{0}$$

$$\text{d'où } (P_1 + P_2) \vec{FT}_1 + P_2 \vec{T_1 T_2} = \vec{0}$$

$$\vec{T_2 T_1} = \frac{P_1 + P_2}{P_2} \vec{FT}_1$$

G-invariant

CeG : centre du repère

$$\frac{dx_1}{dt} = -\frac{1}{4\pi} \frac{P_2}{L^2} 2(y_1 - y_2) = -\frac{1}{2\pi} \frac{P_1 + P_2}{L^2} y_1$$

$$\frac{dy_1}{dt} = \frac{1}{4\pi} \frac{P_2}{L^2} 2(x_1 - x_2) = \frac{1}{2\pi} \frac{P_1 + P_2}{L^2} x_1.$$

l'agitation autour de  $\mathbf{r}$  à la vitesse:

$$\Omega = \frac{P_1 + P_2}{2\pi L^2}.$$

Exemple: invariance du centre de vorticité. (2D).

$$x_c = \frac{\int x_i w dx}{\int w dx} \text{ centre de vorticité}$$

En 2D  $\frac{d\vec{w}}{dt} = \mathbf{v}_i, j, w_i$  devient  $\frac{dw}{dt} = 0$ .

D'où  $\frac{d}{dt} \int_{R^2} w dx = \int_{R^2} \frac{dw}{dt} dx = 0$ .

Montrons que l'on a aussi  $\frac{d}{dt} \int_{R^2} x_i w dx = 0$ .

$$\frac{d}{dt} \int_{R^2} x_i w dx = \int_{R^2} \mathbf{v}_i w dx$$

Notons  $\mathbf{v}_1 = \mathbf{u}$  et  $\mathbf{v}_2 = \mathbf{v}$

On remarque que :

$$\begin{aligned} \frac{\partial(u^2 - v^2)}{\partial y} - 2 \frac{\partial(uv)}{\partial x} &= 2u \frac{\partial u}{\partial y} = -2v \frac{\partial v}{\partial y} - 2u \frac{\partial v}{\partial x} - 2v \frac{\partial u}{\partial x} \\ &= -2v \left( \frac{\partial u}{\partial x} + \frac{\partial v}{\partial y} \right) - 2u \left( \frac{\partial v}{\partial x} - \frac{\partial u}{\partial y} \right) \\ &= -2u \left( \frac{\partial v}{\partial x} - \frac{\partial u}{\partial y} \right) \text{ car } \operatorname{div} \mathbf{v} = 0. \\ &= -2uv. \end{aligned}$$